© VitisDb 2010-2016 - ISSN 2282-006x

Noah

D'Onofrio C., 2015. Noah bianca. In: Italian Vitis Datababase. ISSN 2282-006X

release 29/05/2015, **ultimo aggiorn.** 20/06/2015 **url** http://vitisdb.it/varieties/show/1116

Informazioni generali gestite da

Dipartimento di Scienze Agrarie, Alimentari e Agro-ambientali (DiSAAA-a) - Università di Pisa

Ringraziamenti

Unione Comuni di Garfagnana; Fondazione AGER (AGER Fundation)

Informazioni botaniche

nome Noah
tipo di origine incrocio interspecifico
specie Vitis labrusca
gruppo di varietà non disponibile
genere Vitis
sottospecie non disponibile
vitigno da vino, tavola
breeder non disponibile
istituzione ibridatore non disponibile
anno di incrocio non disponibile
anno di selezione non disponibile
trueness to type accertato con rilievi morfologici e microsatelliti
codice IVD-var_160

True-name

confermato **si**

Bibliografia correlata (1)

autori	anno	titolo	rivista	citazione
Robinson J., Harding J., Vouillamoz J.	2012	Wine Grapes. A complete guide to 1368 vine varieties, including their origins and flavours		Allen Lane - Penguin Books

Registrazione

iscritto al Registro Nazionale delle Varietà di Viti si
codice 702
nome ufficiale Noah B.

Sinonimi

nessun sinonimo disponibile per Noah

Accessione principale

accessione principale Noah b (Garf-GR)
componente che l'ha inserita Dipartimento di Scienze Agrarie, Alimentari e Agro-ambientali (DiSAAA-a) - Università di Pisa

Accessioni standardizzate (1)

- Noah b (Garf-GR) - Dipartimento di Scienze Agrarie, Alimentari e Agro-ambientali (DiSAAA-a) - Università di Pisa

Tutte le accessioni (1)

- Noah b (Garf-GR) - Dipartimento di Scienze Agrarie, Alimentari e Agro-ambientali (DiSAAA-a) - Università di Pisa

Cloni omologati

Nessun clone disponibile per

Profilo microsatellite standardizzato

loci:	loci predefiniti (9)																	
locus SSR:	VVS2		VVMD5		VVMD7		VVMD27		VrZAG62		VrZAG79		VVMD25		VVMD28		VVMD32	
allele:	A1	A2	A1	A2	A1	A2	A1	A2	A1	A2	A1	A2	A1	A2	A1	A2	A1	A2
dimensione:	133	143	249	249	235	255	185	187	182	206	249	259	240	250	248	248	251	271

Vi sono altri loci consultabili online

© VitisDb 2010-2016 - ISSN 2282-006x

Immagini



germoglio



germoglio pagina superiore



germoglio pagina inferiore



foglia



foglia pagina superiore



foglia pagina inferiore



seno peziolare



grappolo



acino



vinacciolo

Riferimenti storici

Si ritiene che si sia originato spontaneamente in Illinois nel 1869 come semenzale del vitigno Taylor, che a sua volta è un idrido spontaneo *Vitis riparia* - *Vitis labrusca* (Robinson et al., 2012). Inoltre è uno dei parentali del 'Baco blanc' (Folle blanc x Noah) (De Souza Leão, 2008).

Diffusione & variabilità

In Europa fu inizialmente introdotto in francia per le sue caratteristiche di tolleranza alla fillossera, dove poi è si è diffuso per la sua toleranza ad alcunipatogeni fiungini. Al momento è sporadicamente diffusio in Francia, Spagna e Portogallo, mentre è più popolare in Moldavia (Robinson et al., 2012. I lavori di analisi dei profilo microsatelliti hanno evidenziato che in Spagna è conosciuto anche con il nome di Hondarribi Zuri (Ibañez et al., 2003; Robinson et al., 2012).
E' sporadicamente diffuso in Italia nonostante sia stato iscritto al Registro nazionale delle varietà di Viti (1997), e recentemente è stato censito e caratterizzato in 'Garfagnana'.

Utilizzazione tecnologica

Ha germogliamento molto tardivo e matura in seconda-terza epoca. I grapoli sono piccoli e spargoli, con acini dichi verdognoli caratterizzato fa forte sapote foxy. L'uva viene generalmente utilizza come consumo fresco, e raramente vinificata.

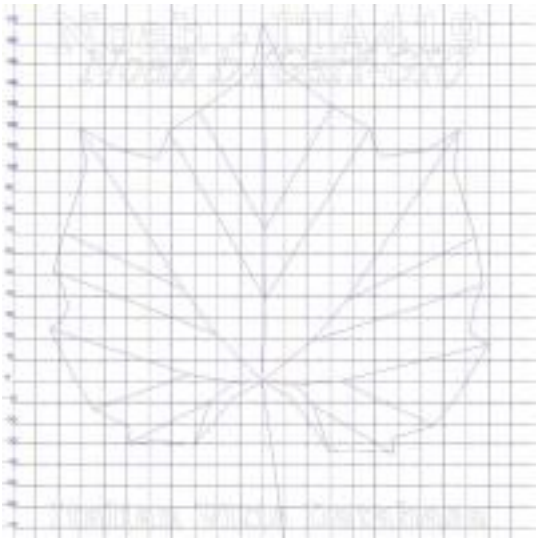
Ampelografia

OIV	descrizione	valore		immagini
001	Giovane germoglio: apertura dell'apice	3	semi-aperto	
003	Giovane germoglio: intensità della pigmentazione antocianica dei peli striscianti dell'apice	5	media	
004	Giovane germoglio: densità dei peli striscianti dell'apice	7 / 9	elevata / molto elevata	
006	Germoglio: portamento (prima della legatura)	1 / 3	eretto / semi-eretto	
007	Germoglio: colore del lato dorsale degli internodi	1	verde	
008	Germoglio: colore del lato ventrale degli internodi	1	verde	
016	Germoglio: numero di viticci consecutivi	1	2 o meno	
051	Foglia giovane: colore della pagina superiore del lembo (4 a foglia)	2	giallo	
053	Foglia giovane: densità peli striscianti tra le nervature principali della pagina inferiore (4a foglia)	9	molto elevata	

067	Foglia adulta: forma del lembo	2	cuneiforme	
068	Foglia adulta: numero dei lobi	1	uno (foglia intera)	
070	Foglia adulta: distribuzione pigmentazione antocianica nervature principali pagina superiore	1	assente	
072	Foglia adulta: depressioni del lembo	3 / 5	deboli / medie	
074	Foglia adulta: profilo del lembo in sezione trasversale	1	piano	
075	Foglia adulta: bollositá della pagina superiore del lembo	5	media	
076	Foglia adulta: forma dei denti	2	entrambi i lati rettilinei	
079	Foglia adulta: grado di apertura / sovrapposizione dei bordi del seno peziolare	3	aperto	
080	Foglia adulta: forma della base del seno peziolare	3	a V	
081-1	Foglia adulta: denti del seno peziolare	1	assenti	
081-2	Foglia adulta: base del seno peziolare delimitata dalla nervatura	1	non delimitata	
083-2	Foglia adulta: denti nei seni laterali superori	1	assenti	
084	Foglia adulta: densità dei peli striscianti tra le nervature principali sulla pagina inferiore del lembo	3 / 5	bassa / media	
087	Foglia adulta: densità dei peli eretti sulle nervature principali della pagina inferiore del lembo	1	nulla o molto bassa	
094	Foglia adulta: profondità dei seni laterali superiori	1	assente o molto poco profondo	
151	Fiore: organi sessuali	3	stami completamente sviluppati e gineceo completamente sviluppato	
152	Infiorescenza: livello d’inserzione della 1 a infiorescenza	2	3° e 4° nodo	
155	Tralcio: fertilità delle gemme basali (gemme 1-3)	9	molto alta (>1,9)	
202	Grappolo: lunghezza (escluso il peduncolo)	1	molto corto	
204	Grappolo: compattezza	3 / 5	spargolo / medio	
206	Grappolo: lunghezza del peduncolo del grappolo principale	1	molto corto	
208	Grappolo: forma	1	cilindrico	
209	Grappolo: numero di ali del grappolo principale	1	assenti	
220	Acino: lunghezza	3 / 5	corto / medio	
221	Acino: larghezza	3 / 5	stretto / medio	
223	Acino: forma	2	sferoidale	
225	Acino: colore della buccia	1	verde giallo	
231	Acino: intensità della pigmentazione antocianica della polpa	3	debole	
235	Acino: consistenza della polpa	3	molto soda	
236	Acino: particolarità dell’aroma	3	aroma foxy	
241	Acino: sviluppo dei vinaccioli	3	completo	

© VitisDb 2010-2016 - ISSN 2282-006x

Ampelometria



foglia ampelometrica

OIV

OIV	PDF	descrizione	valore	
601	PDF	Foglia adulta: lunghezza della nervatura N1	7	lunga (165 mm)
602	PDF	Foglia adulta: lunghezza della nervatura N2	9	molto lunga (145 mm)
603	PDF	Foglia adulta: lunghezza della nervatura N3	7	lunga (95 mm)
604	PDF	Foglia adulta: lunghezza della nervatura N4	9	molto lunga (55 mm e oltre)
605	PDF	Foglia adulta: distanza dal seno peziolare al seno laterale superiore	9	molto lunga (110 mm)
606	PDF	Foglia adulta: distanza dal seno peziolare al seno laterale inferiore	9	molto lunga (90 mm)
607	PDF	Foglia adulta: angolo tra N1 e N2 misurato alla prima biforcazione	5	medio (46°-55°)
608	PDF	Foglia adulta: angolo tra N2 e N3 misurato alla prima biforcazione	5	medio (46°-55°)
609	PDF	Foglia adulta: angolo tra N3 e N4 misurato alla prima biforcazione	5	medio (46°-55°)
610	PDF	Foglia adulta: angolo tra N3 e la tangente tra il punto peziolare e l’estremità N5	7	grande (56°-70°)
612	PDF	Foglia adulta: lunghezza del dente di N2	7	lungo (18 mm)
613	PDF	Foglia adulta: larghezza del dente di N2	7	largo (18 mm)
614	PDF	Foglia adulta: lunghezza del dente di N4	3	corto (10 mm)
615	PDF	Foglia adulta: larghezza del dente di N4	7	largo (18 mm)
617	PDF	Foglia adulta: distanza tra l’estremitá di N2 e l’estremitá della prima nervatura secondaria di N2	5	media (46-55 mm)

Superampelo

distanze		
descrittore	valore	deviazione standard
Lunghezza della nervatura N3	102.900	8.700
Lunghezza della nervatura N2’	145.400	12.500
Distanza tra estremità di N2 e estremità della prima ramificazione laterale di N2	57.500	13.600
Lunghezza della nervatura N3'	98.400	6.800
Distanza tra estremità di N2' e estremità della prima ramificazione laterale di N2'	53.900	9.800
Distanza dal seno peziolare al seno inferiore destro	95.500	8.100
Distanza dal seno peziolare al seno inferiore sinistro	93.800	7.300
Distanza dal seno peziolare al seno superiore destro	119.500	9.500
Distanza dal seno peziolare al seno superiore sinistro	115.700	9.200
Nervatura N3, lunghezza dal seno peziolare alla nervatura N4	14.700	3.400
Nervatura N3’, lunghezza dal seno peziolare alla nervatura N4’	12.900	2.600
Lunghezza della nervatura N5	22.200	3.300
Lunghezza della nervatura N5’	21.900	7.300
Lunghezza della nervatura N4	55.200	6.500
Lunghezza della nervatura N4’	54.700	9.000
Distanza tra punto peziolare ed estremità della nervatura N4	68.200	6.300
Distanza tra punto peziolare ed estremità della nervatura N4'	66.100	7.700
Larghezza della foglia	194.300	11.500
Lunghezza della foglia	210.600	18.800
Lunghezza del picciolo	87.400	9.100
Lunghezza della foglia compreso il picciolo	256.900	15.300
Distanza tra gli estremi delle nervature N2 e N2’	167.700	17.400
Lunghezza della nervatura N1	169.400	13.400
Distanza tra gli estremi delle nervature N4 e N4’	117.900	9.000
Distanza tra gli estremi delle nervature N3 e N3’	196.200	12.100
Lunghezza della nervatura N2	148.100	13.000
Larghezza del seno peziolare / Distanza tra i punti SP e SP’	-43.200	5.100

angoli		
descrittore	valore	deviazione standard
Angolo tra N1 e N2 misurato alla prima biforcazione	47.200	6.200
Angolo tra N2 e N3 misurato alla prima biforcazione	46.600	4.300
Angolo tra N1 e N2’ misurato alla prima biforcazione	45.000	3.600
Angolo tra N3 e N4 alla prima biforcazione di N3	53.300	5.700
Angolo tra N2’ e N3’ misurato alla prima biforcazione	48.500	5.200
Angolo tra N1 e N2 misurato agli estremi delle nervature	35.800	6.300
Angolo tra N3’ e N4’	53.300	6.600
Angolo tra N2 e N3 misurato agli estremi delle nervature	43.800	5.600
Angolo tra N1 e N2’ misurato agli estremi delle nervature	33.800	5.200
Angolo tra N3 e N4 misurato agli estremi delle nervature	40.400	3.600
Angolo tra N2’ e N3’ misurato agli estremi delle nervature	41.300	5.200
Angolo di apertura del seno peziolare misurato a SP e SP’	95.000	14.800
Angolo tra N3’ e N4’ misurato agli estremi delle nervature	41.500	5.300
Angolo tra S e S’ con centro in N1	75.700	5.500
Angolo tra D e D’ con centro in N1	82.300	6.200
Angolo tra N3 e la tangente tra il punto peziolare e l'estremità N5	57.800	4.700
Angolo tra I e I’ con centro in N1	64.900	5.200
Angolo tra N3' e la tangente tra il punto peziolare e l'estremità N5'	59.600	10.600

rapporti		
descrittore	valore	deviazione standard
Prodotto di Lunghezza e larghezza della foglia	40974.000	5047.000
Rapporto tra la lunghezza del picciolo OP e la lunghezza della nervatura N1	0.520	0.073
Rapporto tra Lunghezza e larghezza della foglia	1.086	0.097
Rapporto tra la distanza dal seno la lunghezza della nervatura N2	0.808	0.039
Media della base dei denti del lato sinistro	4.841	0.000
Media della base dei denti del lato destro	10.301	0.000
Media dell’altezza dei denti del lato sinistro	4.990	0.000
Rapporto tra l’altezza e la base del dente all’estremità della nervatura N4’	0.557	0.063
Media dell’altezza dei denti del lato destro	2.804	0.000
Rapporto tra l’altezza e la base del dente all’estremità della nervatura N2’	1.039	0.201
Rapporto tra l’altezza e la base del dente all’estremità della nervatura N4	0.475	0.081
Rapporto tra l’altezza e la base dei denti del lato sinistro	1.031	0.000
Rapporto tra l’altezza e la base del dente all’estremità della nervatura N2	1.059	0.235
Rapporto tra la somma degli angoli a’ + b’ e la somma della distanza tra il seno peziolare e il seno superiore sinistro OS’ e il seno peziolare e il seno inferiore sinistro OI’	0.008	0.001
Rapporto tra l’altezza e la base dei denti del lato destro	0.272	0.000
Rapporto tra la lunghezza della nervatura N5’ e la lunghezza della nervatura N1	0.128	0.039
Rapporto tra la somma degli angoli a + b e la somma della distanza tra il seno peziolare e il seno superiore destro OS e il seno peziolare e il seno inferiore destro OI	0.008	0.001
Rapporto tra la lunghezza della nervatura N4’ e la lunghezza della nervatura N1	0.323	0.044
Rapporto tra la lunghezza della nervatura N5 e la lunghezza della nervatura N1	0.132	0.026
Rapporto tra la lunghezza della nervatura N3' e la lunghezza della nervatura N1	0.581	0.047
Rapporto tra la lunghezza della nervatura N4 e la lunghezza della nervatura N1	0.328	0.047
Rapporto tra la lunghezza della nervatura N2’ e la lunghezza della nervatura N1	0.859	0.062
Rapporto tra la lunghezza della nervatura N3 e la lunghezza della nervatura N1	0.610	0.064
Rapporto tra la distanza dal seno peziolare al seno inferiore sinistro OI’ e la lunghezza della nervatura N3’	0.953	0.025
Rapporto tra la lunghezza della nervatura N2 e la lunghezza della nervatura N1	0.875	0.057
Rapporto tra la distanza dal seno peziolare la lunghezza della nervatura N2’	0.798	0.045
Rapporto tra la distanza dal seno peziolare al seno inferiore destro OI e la lunghezza della nervatura N3	0.929	0.024

Bibliografia (4)

autori	anno	titolo	rivista	citazione
De Souza Leão P.C.,	2008	Recursos genéticos de videira (Vitis spp): Análise da diversidade e caracterização da coleção de germoplasma da embrapa semi-árido.		PhD thesis, Universidade Federal de Viçosa, Brasil.
D'Onofrio C., Fausto C., Matarese F., Materazzi A., Scalabrelli G., Fiorani F., Poli I.,	2015	Genotyping of Grapevine Varieties from Garfagnana (Northern Tuscany): Evidence of a Historical Centre of Diversity	American Journal of Enology and Viticulture	Am. J. Enol. Vitic. 67: 120-126
Ibañez J, Andres M.T., Molino A., Borrego J.,	2003	Genetis study of key Spanish grapevine varieties using microsatellite analysis.	American Journal of Enology and Viticulture	54: 22-30
Robinson J., Harding J., Vouillamoz J.	2012	Wine Grapes. A complete guide to 1368 vine varieties, including their origins and flavours		Allen Lane - Penguin Books